

тик сильно размываются, что экспериментально наблюдалось в работах [2, 3]. Заметим, что «старение» кристаллов, связанное с увеличением числа дефектов, также приводит к размытию диэлектрических и акустических аномалий в области перехода за счет возникновения локальных электрических полей, упругих напряжений и их градиентов.

## Литература

- Струков Б.А., Леванюк А.П. Физические основы сегнетоэлектрических явлений в кристаллах. М., 1983.
- Imai K.J. // Phys. Soc. Japan. 1974. No. 4. P. 1069.
- Зарембо Л.К., Красильников В.А., Румянцева В.А., Сердобольская О.Ю. // Акуст. журн. 1995. 41, № 5. С. 784.

Поступила в редакцию  
24.06.97

## ФИЗИКА ТВЕРДОГО ТЕЛА

УДК 539.1

# РАСЧЕТ УПРУГИХ ПОСТОЯННЫХ МЕТАЛЛОВ С ГЕКСАГОНАЛЬНОЙ ПЛОТНОЙ УПАКОВКОЙ

В. М. Силонов, И. А. Гляненко

(кафедра физики твердого тела)

Методом модельного потенциала в гармоническом приближении с учетом взаимодействия до четвертой координационной сферы проведен расчет упругих постоянных Mg, Zr и Ti. Как в случае Mg, так и в случае переходных металлов Zr и Ti рассчитанные значения упругих постоянных оказались близкими к экспериментальным. Для Zr и Ti наиболее близкими к экспериментальным оказались значения упругих постоянных  $C_{12}$ ,  $C_{13}$ ,  $C_{33}$ , а для  $C_{11}$  и  $C_{44}$  расхождения составили около 20%.

В настоящее время метод модельного потенциала достаточно широко применяется для изучения многих важных свойств металлов и сплавов, таких как энергия упорядочения, устойчивость фаз, фононные спектры, плотность электронных состояний и т. п. Наиболее успешным оказалось применение псевдо-потенциалов для металлов с ОЦК и ГЦК структурами [1–3]. В то же время недостаточно полно исследована возможность использования модельных потенциалов для расчета подобных характеристик ГПУ металлов и сплавов, в частности переходных элементов. Упругие постоянные ГПУ металлов могут быть рассчитаны, если известны значения потенциалов межатомного взаимодействия  $F(r)$ . В работе [4] при вычислении  $F(r)$  предполагается знание распределения электронной плотности вокруг ядер. В этой работе проводился расчет упругих постоянных для Mg с применением потенциала, построенного на основе распределения электронной плотности в рамках метода функционала плотности. Однако применение использовавшихся в [4] достаточно громоздких формул для переходных элементов представляет значительные трудности. В то же время расчет упругих постоянных как для простых, так и для переходных металлов может быть проведен в рамках метода модельного потенциала. Целью данной работы является применение метода модельного потенциала для вычисления упругих постоянных ряда металлов с ГПУ структурой.

## Методика расчета

Как отмечалось в работе [4], в гармоническом приближении для расчета упругих постоянных элементов с ГПУ структурой можно ограничиться рассмотрением координационных сфер до четвертой включительно. В этом приближении упругие постоянные могут быть рассчитаны с использованием выражений [5, 6]:

$$C_{11} = \sqrt{3}(3\alpha - A_1 - L)/2c,$$

$$C_{12} = C_{11} - \frac{1}{\sqrt{3}c} \times \\ \times [3(\alpha - 3A_1) - 3B_1 - B_2 - 12G_1 - 4G_2 + P],$$

$$L = [(2B_2 + G_2 + 3G_1)(3B_1 + B_2 + 8G_2) + \\ + 2G_2(3B_1 + B_2)] / 3(B_1 + B_2 + G_1 + G_2),$$

$$C_{13} = \frac{2}{a}(2G_4 - B_4) - C_{44},$$

$$C_{33} = \frac{c}{\sqrt{3}a^2}[-3(B_3 + G_3) + 4\delta],$$

$$C_{44} = -\frac{2}{\sqrt{3}c}(3A_2 + B_3 + 4G_3),$$

$$P = \frac{(B_1 - B_2 - 2G_1 + 2G_2)^2}{B_1 + B_2 + G_1 + G_2},$$

$$\alpha = -[k_1(1) + C_B(1)], \quad A_1 = A_2 = C_B(1), \quad A_3 = 0,$$

$$\begin{aligned} B_1 &= C_B(2), \quad B_2 = \frac{1}{3}(K_1(2) + 3C_B(2)), \\ B_3 &= 2B_2 - B_1, \quad B_4 = \sqrt{2}(B_2 - B_1), \\ G_1 &= C_B(3), \quad G_2 = \frac{1}{3}(2K_1(3) + 3C_B(3)), \\ G_3 &= \frac{1}{2}(G_1 + G_2), \quad G_4 = \frac{G_2 - G_1}{\sqrt{2}}, \\ \delta &= -(K_1(4) + C_B(4)), \\ K_1(S) &= (\alpha_i - \beta_i)_S, \quad C_B(S) = (\beta_i)_S. \end{aligned}$$

В этих выражениях  $C_{11}$ ,  $C_{12}$ ,  $C_{13}$ ,  $C_{33}$  и  $C_{44}$  — упругие постоянные,  $a$  и  $c$  — параметры кристаллической решетки.

С использованием рассчитанных потенциалов межатомного взаимодействия вычислялись значения радиальных ( $\alpha_i$ ) и тангенциальных ( $\beta_i$ ) силовых постоянных для первых четырех координационных сфер по формулам

$$\alpha_1 = \left. \frac{d^2 F}{dr^2} \right|_{r_i}, \quad \beta_1 = \left. \frac{1}{r} \frac{dF}{dr} \right|_{r_i},$$

где  $i$  — номер координационной сферы.

Во втором порядке теории возмущений потенциал межатомного взаимодействия записывается следующим образом [7]:

$$F(r) = \frac{Z^2 e^2}{r} - \frac{2Z^2 e^2}{\pi} \int_0^\infty G(q) \frac{\sin qr}{qr} dq,$$

где  $Z$  — валентность,  $q$  — модуль вектора рассеяния,  $r$  — межатомное расстояние.

В качестве исходных данных используется набор формфакторов модельных потенциалов в аналитической форме, предложенный Анималу [8, 9]:  
для простых элементов

$$W(q, \mathbf{k}, \mathbf{k}') = \frac{B(q)}{\varepsilon(q)} + F(q, \mathbf{k}, \mathbf{k}') + I(q),$$

для переходных элементов

$$W(q, \mathbf{k}, \mathbf{k}') = \frac{B(q) + F(q, \mathbf{k}, \mathbf{k}')}{\varepsilon(q)}. \quad (1)$$

Здесь  $B(q)$  — локальная часть,  $F(q, \mathbf{k}, \mathbf{k}')$  — нелокальная часть,  $\varepsilon(q)$  — функция диэлектрической проницаемости,  $I(q)$  — дополнительный член для простых металлов. Эти выражения не приводятся полностью ввиду их громоздкости.

Как показано в работе [10], расчет формфакторов модельных потенциалов и для простых, и для переходных элементов можно проводить с использованием формулы (1).

Параметры  $A_0$ ,  $A_1$ ,  $A_2$ ,  $R_m$ ,  $\Omega$ ,  $Z$ ,  $m^*$ ,  $R_c$ ,  $\alpha_{\text{eff}}$  и  $|E_c|$ , использованные при расчете формфакторов модельных потенциалов, приведены в табл. 1. Характеристическая функция  $G(q)$  рассчитывалась по формуле [7]:

$$G(q) = \left[ \frac{4\pi Z e^2}{\Omega q^2} \right]^2 \frac{W(q)^2}{1 - f(q)} \left( 1 - \frac{1}{\varepsilon(q)} \right).$$

Таким образом, если известны значения характеристических функций  $G(q)$ , можно рассчитать силовые постоянные для каждого набора ближайших соседей.

Т а б л и ц а 1  
Параметры модельных потенциалов

Металл	$a$ , Å	$c$ , Å	$A_0$ , а.е.	$A_1$ , а.е.	$A_2$ , а.е.	$R_m$ , а.е.	$\Omega$ , а.е.	$Z$ , а.е.	$m^*$ , а.е.	$R_c$ , а.е.	$\alpha_{\text{eff}}$	$ E_c $ , Ry
Mg	3,21	5,21	0,78	0,88	0,99	2,6	155,9	2	1,0	1,47	0,043	0,086
Ti	2,95	4,68	2,30	2,50	2,10	2,0	119,0	4	1,0	1,285	0,037	0,096
Zr	3,23	5,15	1,15	1,70	1,30	2,0	157,0	4	1,0	1,493	0,044	0,095

Т а б л и ц а 2

Расчетные значения атомных силовых постоянных при учете от 1 до 4 координационных сфер

Радиусы и силовые постоянные	Mg				Ti				Zr			
	1	2	3	4	1	2	3	4	1	2	3	4
$r_i$ , Å	3,20	3,21	4,53	5,21	2,89	2,95	4,13	4,68	3,18	3,23	4,53	5,15
$\alpha_i \cdot 10^{-4}$ , дин/см	1,41	1,04	0,12	-0,052	2,95	1,23	0,24	0,07	2,42	1,17	0,37	0,12
$\beta_i \cdot 10^{-4}$ , дин/см	0,0012	0,0010	-0,033	-0,0006	0,20	0,12	-0,071	-0,019	0,11	0,07	-0,13	-0,043

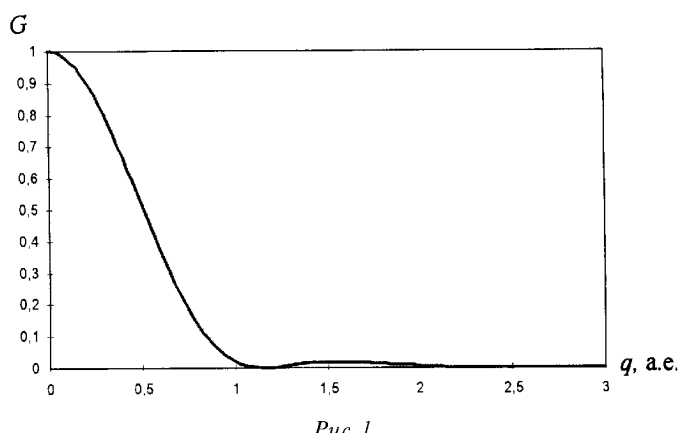


Рис. 1

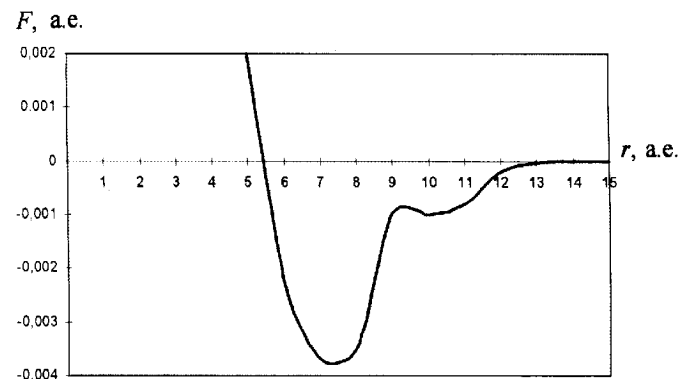


Рис. 2

### Результаты расчета

Зависимости  $G(q)$  и  $F(r)$  для Mg приведены соответственно на рис. 1 и 2. Сходный вид имеют эти зависимости для Zr и Ti.

В табл. 2 приведены радиусы первых четырех координационных сфер и значения атомных силовых постоянных для Mg, Zr и Ti. Из табл. 2 видно, что силовые постоянные, соответствующие первой и второй координационным сферам, для каждого из элементов имеют близкие значения, что является следствием близких значений радиусов этих сфер. Радиальная силовая постоянная для каждой координационной сферы больше тангенциальной постоянной.

В табл. 3 приведены упругие постоянные для Mg, Zr и Ti, рассчитанные приведенным выше методом, а также методом [4], и экспериментальные значения [11–13].

Сравнение показывает, что расчет упругих постоянных для Mg методом модельного потенциала и расчет с использованием функции распределения электронной плотности [4] удовлетворительно согласуются с экспериментом. Для Ti и Zr также получе-

но удовлетворительное согласие рассчитанных значений упругих постоянных с экспериментальными данными.

Таблица 3  
Упругие постоянные

Металл	Источник данных	$C \cdot 10^{-12}$ , дин/см <sup>2</sup>				
		$C_{11}$	$C_{22}$	$C_{13}$	$C_{33}$	$C_{44}$
Mg	Расчет (настоящая работа)	0,71	0,32	0,34	0,84	0,17
	Расчет [4]	0,59	0,26	0,21	0,62	0,16
	Эксперимент [13]	0,83	0,32	0,19	0,97	0,18
	Эксперимент [11]	0,63	0,25	0,21	0,66	0,18
Ti	Расчет (настоящая работа)	2,17	0,81	0,75	2,06	0,59
	Эксперимент [11]	1,62	0,92	0,69	1,81	0,46
Zr	Расчет (настоящая работа)	1,75	0,63	0,61	1,98	0,25
	Эксперимент [11]	1,44	0,72	0,65	1,65	0,32
	Эксперимент [12]	1,43	0,73	0,65	1,65	0,32

В то же время нужно отметить, что более близки к экспериментальным оказались значения упругих постоянных  $C_{12}$ ,  $C_{13}$ ,  $C_{33}$ . Расхождение для  $C_{11}$  и  $C_{44}$  составило  $\sim 20\%$ . Это расхождение может быть обусловлено тем, что расчет ограничен учетом лишь четырех координационных сфер.

### Литература

- Харрисон У. Электронная структура и свойства твердых тел. Физика химической связи. М., 1983.
- Хейне В., Коэн М., Уэйр Д. Теория псевдопотенциалов. М., 1974.
- Силонов В.М. Физика сплавов. М., 1994.
- Magana L.F., Vazquez G.J. // J. Phys.: Condens. Matter. 1995. 7. P. L393.
- Shukla R.C. // J. Chem. Phys. 1966. **45**. P. 4178.
- Collins M.F. // Proc. Phys. Soc. 1962. **80**. P. 362.
- Upadhyaya S.C., Upadhyaya J.C., Shyam R. // Phys. Rev. 1991. **B44**. P. 122.
- Animalu A.O.E., Heine V. // Phil. Mag. 1965. **12**. P. 1249.
- Animalu A.O.E. // Phys. Rev. 1973. **B8**. P. 3542.
- Силонов В.М. Таблицы формфакторов псевдопотенциалов Анималу: Деп. ВИНИТИ № 1171-76. М., 1976.
- Францевич И.Н., Воронов Ф.Ф., Бакута С.А. Упругие постоянные и модули упругости металлов и неметаллов. Киев, 1982.
- Carvalheiro R., Shukla M.M. // Nuovo Cimento. 1975. **B30**. P. 1.
- Slutsky L., Garland C.W. // Phys. Rev. 1957. **B107**. P. 972.

Поступила в редакцию  
25.06.97